

Bosons en interaction dans une boîte
Transformation de Bogoliubov (suite)

⑤ Excitations élémentaires du gaz de bosons

a - Relations de dispersion

Compte tenu de la relation (7.58) qui permet d'annuler la 3^e ligne de (7.57), la 2^e ligne de (7.57) devient :

$$\sum_{\vec{k} \neq 0} \frac{\hbar^2 k^2}{2m} (u_k^2 + v_k^2 + 2u_k v_k) b_{\vec{k}}^+ b_{\vec{k}}^- \quad (8.1)$$

En utilisant les expressions (7.63) et (7.64) de u_k^2 , v_k^2 , $u_k v_k$, on transforme alors (8.1) en $\sum_{\vec{k}} \hbar \omega(k) b_{\vec{k}}^+ b_{\vec{k}}^-$ où

$$\hbar \omega(k) = \sqrt{\frac{\hbar^2 k^2}{2m} \left(\frac{\hbar^2 k^2}{2m} + 2\rho \tilde{V}(k) \right)} \quad (8.2)$$

b - Quelques repères importants dans l'échelle des valeurs de k

- quand k croît de 0 à $+\infty$, $\tilde{V}(k)$ décroît en général de $\tilde{V}(0) = 4\pi \hbar^2 a/m$ à 0. La valeur de k au-delà de laquelle $\tilde{V}(k)$ décroît significativement est de l'ordre de $1/r_e$ où r_e caractérise la portée du potentiel $V(r)$.

- Il existe une autre valeur importante k_0 dans l'échelle des valeurs de k , celle pour laquelle les 2 termes $\hbar^2 k^2/2m$ et $\rho \tilde{V}(k)$ sont du même ordre de grandeur

$$\frac{\hbar^2 k_0^2}{2m} = \rho \tilde{V}(k_0) \quad (8.3)$$

En fait, comme nous allons le vérifier plus loin, k_0 est beaucoup plus petit que $1/r_e$ où r_e est la portée du potentiel, de sorte que l'on peut remplacer $\tilde{V}(k_0)$ par $\tilde{V}(0) = 4\pi \hbar^2 a/m$ dans (8.3) qui donne alors

$$k_0 = \sqrt{8\pi a \rho} = 1/\xi_0 \quad (8.4)$$

où ξ_0 est la longueur de relaxation introduite dans le cours V.

- Vérifions maintenant que $k_0 \ll \frac{1}{r_e}$, c-à-d que $\xi_0 \gg r_e$. D'après (8.4)

$$\xi_0 \sim \sqrt{\frac{1}{\rho a}} = \sqrt{\rho a^3} \quad (8.5)$$

Nous supposons ici le gaz très dilué, de sorte que

$$\rho a^3 \ll 1 \quad (8.6)$$

On en déduit que $\xi_0 \gg a$, de sorte que si a et r_e sont du même ordre de grandeur, on a bien $\xi_0 \gg r_e$

c - Discussions physique

Existence de 2 régimes

- Pour $k \ll k_0$, on peut négliger dans la parenthèse de (8.2) $\hbar^2 k^2 / 2m$ devant $2\rho \tilde{V}(k)$, qui on peut également remplacer par $2\rho \tilde{V}(0) = 8\pi a \rho \hbar^2 / m$. On obtient alors

$$\omega(k) = c k \quad (8.7)$$

où

$$c = 2 \frac{\hbar}{m} \sqrt{\pi a \rho} = \frac{1}{\sqrt{2}} \frac{\hbar}{m \xi_0} = \frac{1}{\sqrt{2}} \frac{\hbar k_0}{m} \quad (8.8)$$

Les excitations élémentaires du gaz de bosons sont alors des phonons, caractérisés par une relation de dispersion linéaire en k , c'est à dire par une vitesse de propagation c donnée par (8.8).

- Pour $k \gg k_0$, on peut au contraire négliger $2\rho \tilde{V}(k)$ devant $\hbar^2 k^2 / 2m$ dans (8.2) qui donne alors

$$\omega(k) = \frac{\hbar k^2}{2m} \quad (8.9)$$

les excitations élémentaires correspondent alors au spectre d'énergie d'une particule libre de masse m .

- Ces résultats sont regroupés sur la figure 1 qui donne les variations de $\omega(k)$ avec k

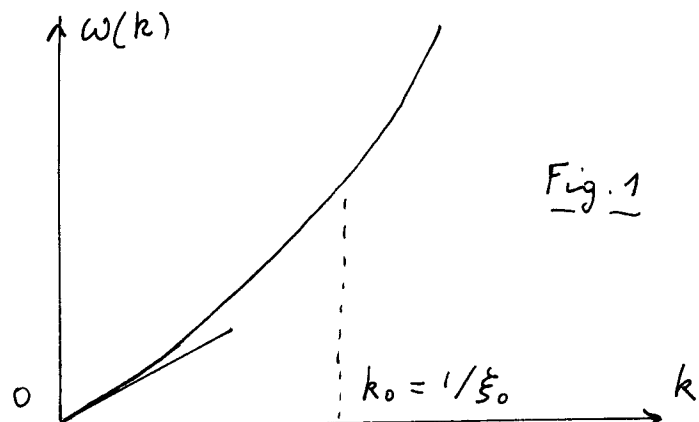


Fig. 1

- Revenons enfin à (7.59). Il apparaît clairement sur cette équation que, pour $k \ll k_0$, $\hbar 2\theta_k \approx 1$, de sorte que $\theta_k \gg 1$. On a alors $u_k = ch \theta_k \approx v_k = sh \theta_k$. D'après (7.52), les excitations élémentaires \vec{k} sont des superpositions linéaires à poids égaux d'un "trou" $-\vec{k}$ et d'une particule \vec{k} .

Par contre quand $k \gg k_0$, $\hbar 2\theta_k \approx 0$ de sorte que $\theta_k \ll 1$. On a alors $u_k = ch \theta_k \gg v_k = sh \theta_k$. Les excitations élémentaires sont alors pratiquement des états de particule \vec{k} .

Absence de "gap"

VIII-3

- Il apparaît clairement sur la figure 1 que le spectre des excitations élémentaires croît de manière continue à partir de 0 et ne présente plus le "gap" prévu par le calcul perturbatif du § 3.
- Notons cependant que la densité d'états est diminuée au voisinage de 0, par rapport à celle correspondant à une particule libre (la densité d'états associée à une relation de dispersion linéaire est en effet plus faible que celle associée à une relation de dispersion quadratique).

⑥ Energie E_0 de l'état fondamental

a - Calcul de E_0

- Comme le vecteur d'onde $k_0 = 1/\xi_0$ qui caractérise les variations de $u_k^2, v_k^2, u_k v_k$ est très petit devant $1/r_0$, où r_0 est la partie du potentiel $V(r)$, nous allons négliger ici la partie du potentiel, ce qui revient à remplacer $V(r)$ par V_{pseudo} . De plus, nous utiliserons pour simplifier V_S au lieu de V_{pseudo} et nous nous appuierons sur les résultats du § 3b du cours VII pour résoudre les problèmes de divergence que nous rencontrerons.
- Si l'on remplace $V(r)$ par V_S , on peut utiliser les expressions (7.65) de $u_k^2, v_k^2, u_k v_k$. Reportons ces expressions dans la 1^{re} ligne de (7.57) qui n'est autre que l'énergie E_0 de l'état fondamental de Hogg. Remplissons également dans cette expression $\tilde{V}(0)$ par $4\pi \hbar^2 a/m$ et introduisons la variable sans dimension

$$x = \frac{k}{k_0} \quad (8.10)$$

Il vient :

$$\begin{aligned} E_0 &= N \frac{2\pi \hbar^2}{m} ap + \sum_{\vec{k} \neq 0} \left\{ \frac{\hbar^2 k^2}{2m} \frac{1}{2} \left[\frac{x^2+1}{x\sqrt{x^2+2}} - 1 \right] + \frac{4\pi \hbar^2 \rho a}{m} \frac{1}{2} \left[\frac{x}{\sqrt{x^2+2}} - 1 \right] \right\} \\ &= N \frac{2\pi \hbar^2}{m} ap + \frac{2\pi \hbar^2}{m} ap \sum_{\vec{k} \neq 0} \left\{ x^2 \left[\frac{x^2+1}{x\sqrt{x^2+2}} - 1 \right] + \left[\frac{x}{\sqrt{x^2+2}} - 1 \right] \right\} \\ &= \frac{2\pi \hbar^2 ap}{m} \left\{ N + \sum_{\vec{k} \neq 0} \left[x\sqrt{x^2+2} - 1 - x^2 \right] \right\} \end{aligned} \quad (8.11)$$

- Étudions le comportement de la somme sur k aux grands k , c'est à dire aux grands $x = k/k_0$

$$\sqrt{x^2+2} = x \left(1 + \frac{2}{x^2}\right)^{1/2} = x \left[1 + \frac{1}{x^2} - \frac{1}{2} \frac{1}{x^4} + O(\frac{1}{x^6})\right] \quad (8.12)$$

On en déduit

$$\left[x\sqrt{x^2+2} - 1 - x^2 \right] \underset{x \gg 1}{\approx} -\frac{1}{2x^2} + O\left(\frac{1}{x^4}\right) \quad (8.13)$$

Comme $\sum_{\vec{k} \neq \vec{0}} \frac{-1}{2x^2} = -\frac{k_0^2}{2} \sum_{\vec{k} \neq \vec{0}} \frac{1}{k^2}$ diverge, on en conclut que l'expression (8.11) de E_0 contient une partie divergente donnée par

$$\begin{aligned} (E_0)_{\text{div}} &= -\frac{2\pi h^2 a \rho}{m} \frac{k_0^2}{2} \sum_{\vec{k} \neq \vec{0}} \frac{1}{k^2} = -\frac{2\pi h^2 a \rho}{m} \frac{1}{2} 8\pi a \rho \sum_{\vec{k} \neq \vec{0}} \frac{1}{k^2} \\ &= -\frac{8\pi^2 h^2}{m} a^2 \rho^2 \sum_{\vec{k} \neq \vec{0}} \frac{1}{k^2} = -\frac{1}{2} \frac{m \rho^2}{h^2} g^2 \sum_{\vec{k} \neq \vec{0}} \frac{1}{k^2} \end{aligned} \quad (8.14)$$

b - Elimination de la partie divergente de E_0

- Comparons (8.14) et (7.35). Si l'on remplace dans (7.35) $N(N-1)/L^6$ par $N^2/L^6 = (N/L^3)^2 = \rho^2$, on trouve que les 2 expressions sont égales. En d'autres termes, la partie divergente de E_0 n'est autre que l'expression du déplacement de l'état fondamental, calculé au 2^e ordre en V_S .
- Or nous avons vu dans le § 3 b du cours VII qu'un tel calcul fait avec V_S est incorrect à cause de problème de convergence uniforme, et qu'un calcul correct fait avec V_{pseudo} donne un résultat nul [voir Eq. (7.41)]. La divergence trouvée en (8.14) est donc artificielle et est liée à l'utilisation de V_S à des ordres supérieurs. Une utilisation de V_{pseudo} dès le début, basée sur l'expression (7.18) de Hintz, conduirait à remplacer (8.14) par 0. Nous ne referons pas ici un tel calcul, qui serait fort long, et admettrons le résultat [voir Ref [7]].
- Pour éliminer la partie divergente de E_0 , nous agisterons simplement un terme $+\frac{1}{2x^2}$ au crocheton de la somme sur \vec{k} de (8.11) [voir (8.13)]. La nouvelle expression de E_0 devient (en mettant N en facteur) :

$$E_0 = \frac{2\pi h^2 a \rho N}{m} \left\{ 1 + \frac{1}{N} \sum_{\vec{k} \neq \vec{0}} \left[x\sqrt{x^2+2} - 1 - x^2 + \frac{1}{2x^2} \right] \right\} \quad (8.15)$$

Remplissons la somme sur \vec{k} par une intégrale. Comme l'intégrale ne diverge pas en $\vec{k} = \vec{0}$, on peut s'affranchir de la restriction $\vec{k} \neq \vec{0}$

$$\begin{aligned} \sum_{\vec{k} \neq \vec{0}} \dots &\rightarrow \frac{V}{(2\pi)^3} \int d^3 k \dots = \frac{V}{(2\pi)^3} 4\pi k_0^3 \int x^2 dx \dots \\ &= V \frac{\sqrt{2}}{\pi} (\rho a)^{3/2} \int x^2 dx \dots \end{aligned} \quad (8.16)$$

En reportant (8.16) dans le 2^e terme du crocheton de (8.15), on fait apparaître ce 2^e terme sous la forme

$$8\sqrt{\frac{2}{\pi}} (\rho a^3)^{1/2} \underbrace{\int_0^\infty dx x^2 \left[x\sqrt{x^2+2} - 1 - x^2 + \frac{1}{2x^2} \right]}_I, \quad (8.17)$$

- L'intégrale sur x de (8.17) est maintenant convergente. Pour la calculer, intégrons sur x de 0 à x_M , où $x_M \gg 1$. L'intégrale des 3 derniers termes, $-x^2, -x^4, +1/2$ est immédiate. Pour le 1^{er} terme, on prend x^2 comme variable. On obtient ainsi

$$I = \lim_{x_M \rightarrow \infty} \left\{ \frac{1}{5} x_M^5 \left(1 + \frac{2}{x_M^2}\right)^{5/2} - \frac{2^{5/2}}{5} - \frac{2}{3} x_M^3 \left(1 + \frac{2}{x_M^2}\right)^{3/2} + 2 \frac{2^{3/2}}{3} - \frac{x_M^3}{3} - \frac{x_M^5}{5} + \frac{x_M}{2} \right\} \quad (8.18)$$

Il suffit alors de développer $\left(1 + \frac{2}{x_M^2}\right)^{5/2}$ et $\left(1 + \frac{2}{x_M^2}\right)^{3/2}$ en puissance de $1/x_M^2$ pour s'apercevoir que tous les termes en x_M, x_M^3, x_M^5 s'éliminent et pour obtenir

$$I = 2^{5/2} \left(\frac{1}{3} - \frac{1}{5} \right) = \frac{2^{7/2}}{15} \quad (8.19)$$

- En reportant (8.19) dans (8.17), puis en remplaçant le 2^{ème} terme de l'accordéon de (8.15) par (8.17), on obtient finalement

$$E_0 = \frac{2\pi\hbar^2 a \rho}{m} N \left[1 + \frac{128}{15\sqrt{\pi}} (\rho a^3)^{1/2} \right] \quad (8.20)$$

c - Discussion physique

Comparaison avec les résultats du calcul variationnel (champ moyen)

- Dans l'approche variationnelle du cours V, l'énergie E_0 de l'état fondamental est approximée par le minimum de $E[\psi] = \langle \psi | H | \psi \rangle / \langle \psi | \psi \rangle$ quand on fait varier $|\psi\rangle$ dans le sous-espace des états produits $|\psi(1)\rangle |\psi(2)\rangle \dots |\psi(i)\rangle \dots |\psi(N)\rangle$. Rappelons que

$$E[\psi] = E_{\text{kin}} + E_{\text{pège}} + E_{\text{int}} \quad (8.21)$$

et que le minimum de $E[\psi]$ est atteint quand $|\psi\rangle$ obéit à l'équation de Gross-Pitaevskii.

- Dans une boîte de côté L avec des conditions aux limites périodiques, la solution d'une telle équation est

$$\psi(\vec{r}) = \frac{1}{L^{3/2}} \quad (8.22)$$

(normalisation $\langle \psi | \psi \rangle = 1$). E_{kin} et $E_{\text{pège}}$ sont alors nuls et E_{int} est égal à [voir Eq. (5.24)] :

$$E_{\text{int}} = g \frac{N(N-1)}{2} \int d^3r |\psi|^4 \approx g \frac{N^2}{2} \int d^3r \frac{1}{L^6} = g \frac{N^2}{2} \frac{L^3}{L^6} = \frac{1}{2} g \rho N \quad (8.23)$$

Nous désignons maintenant N/L^3 par ρ (et non plus par n). En remplaçant g par $4\pi\hbar^2 a/m$, on obtient finalement

$$(E_0)_{\text{variab.}} = E[\psi] = E_{\text{int}} = \frac{2\pi\hbar^2 a \rho}{m} N \quad (8.24)$$

Quant au potentiel chimique μ , il vaut :

$$\begin{aligned}
 (\mu)_{\text{variab}} &= \frac{\partial}{\partial N} (E_0(N))_{\text{variab}} = \frac{\partial}{\partial N} \left(g \frac{N^2}{2L^3} \right) \\
 &= g \frac{N}{L^3} = g\rho = \frac{4\pi h^2 a^3}{m}
 \end{aligned} \tag{8.25}$$

- En toute rigueur, un gaz de bosons dans une "vraie" boîte doit être décrit avec des conditions aux limites correspondant à l'annulation de $\varphi(\vec{r})$ sur les parois de la boîte. Mais nous avons vu dans le § 4 du cours V que, sous l'effet des interactions, $\varphi(\vec{r})$ devient uniforme dans tout le volume intérieur de la boîte, sauf dans une région d'extension ξ_0 au voisinage des parois, où ξ_0 est la longueur de relaxation. À la limite thermodynamique, $N \rightarrow \infty$, $V = L^3 \rightarrow \infty$ avec $N/V = \rho = \text{constante}$. ξ_0 reste alors constant et les corrections liées aux parois physiques tendent vers 0 quand $\xi_0/L \rightarrow 0$. Les résultats obtenus plus haut avec des conditions aux limites périodiques sont alors valables.

Corrections données par la théorie de Bogoliubov

- Comparons (8.24) et (8.20). La contribution du terme 1 du crochet de (8.20) redonne le résultat (8.24) du calcul variationnel. On peut donc écrire

$$(E_0)_{\text{Bogol.}} = (E_0)_{\text{variab}} \left[1 + \frac{128}{15\sqrt{\pi}} (\rho a^3)^{1/2} \right] \tag{8.26}$$

- La correction introduite par la théorie de Bogoliubov est donc, en valeur relative, égale à $\frac{128}{15\sqrt{\pi}} (\rho a^3)^{1/2}$. On voit ainsi apparaître clairement l'infiniment petit qui caractérise une telle théorie et qui est égal à ρa^3 , c'est à dire au nombre de particules dans un volume a^3 . C'est la petiteur de ce paramètre qui permet de dire qu'un gaz de bosons en interaction est dilué.

- On peut également calculer la valeur du potentiel chimique dans la théorie de Bogoliubov. Le terme constant par rapport à la valeur (8.25) du calcul variationnel est obtenu en dérivant par rapport à N la contribution du 2^{me} terme du crochet de (8.20). Il ne faut pas oublier la dépendance en N de $\rho = N/V$ qui fait que la contribution du 2^{me} terme du crochet de (8.20) est proportionnelle à $N^{5/2}$. Après dérivation par rapport à N , on obtient finalement

$$(\mu)_{\text{Bogol.}} = \frac{\partial}{\partial N} (E_0)_{\text{Bogol.}} = (\mu)_{\text{variab.}} \left[1 + \frac{32}{3\sqrt{\pi}} (\rho a^3)^{1/2} \right] \tag{8.27}$$

⑦ Dépletion quantique de l'état fondamental

a - Nombre de particules hors de l'état $\vec{k} = \vec{0}$

- L'état fondamental du gaz de bosons est le vide des opérateurs $b_{\vec{k}}$ satisfaisant

$$b_{\vec{k}} |\Psi_0\rangle = 0 \quad \text{et} \quad \vec{k} \neq \vec{0} \quad (8.28)$$

et la relation adjointe

$$\langle \Psi_0 | b_{\vec{k}}^+ = 0 \quad \text{et} \quad \vec{k} \neq \vec{0} \quad (8.29)$$

- Un tel état ne correspond pas à une situation où tous les bosons seraient dans l'état $\vec{k} = \vec{0}$, situation décrite par l'état $|0\rangle = |n_0 = N\rangle$. Calculons le nombre moyen de particules hors de l'état $\vec{k} = \vec{0}$, $N - N_0$, quand le gaz de bosons est dans l'état fondamental $|\Psi_0\rangle$

$$N - N_0 = \sum_{\vec{k} \neq \vec{0}} \langle \Psi_0 | a_{\vec{k}}^+ a_{\vec{k}} | \Psi_0 \rangle \quad (8.30)$$

Pour calculer (8.30), exprimons $a_{\vec{k}}$ et $a_{\vec{k}}^+$ en fonction des $b_{\vec{k}}$ et $b_{\vec{k}}^+$ au moyen de (7.56) et utilisons (8.28) et (8.29). Il vient :

$$\begin{aligned} N - N_0 &= \sum_{\vec{k} \neq \vec{0}} \langle \Psi_0 | (u_{\vec{k}} b_{\vec{k}}^+ - v_{\vec{k}} b_{\vec{k}}) (u_{\vec{k}} b_{\vec{k}} - v_{\vec{k}} b_{-\vec{k}}^+) | \Psi_0 \rangle \\ &= \sum_{\vec{k} \neq \vec{0}} v_{\vec{k}}^2 \langle \Psi_0 | b_{\vec{k}} b_{-\vec{k}}^+ | \Psi_0 \rangle = \sum_{\vec{k} \neq \vec{0}} v_{\vec{k}}^2 \end{aligned} \quad (8.31)$$

- Remplaçons la somme sur \vec{k} de (8.31) par une intégrale et utilisons la 2ème équation (7.65) (nous utilisons ici V_S). En introduisant comme plus haut $x = k/k_0$, on obtient

$$N - N_0 = \frac{\frac{L^3 k_0^3}{4\pi^2} J}{J} \quad (8.32)$$

où

$$J = \int_0^\infty dx x \left[\frac{x^2 + 1}{\sqrt{x^2 + 2}} - x \right] \quad (8.33)$$

L'intégrale donnant J est convergente. Pour la calculer, procémons comme dans le § 6 b, en intégrant de 0 à $x_M \gg 1$, puis en prenant $x_M \rightarrow \infty$.

$$\begin{aligned} J &= \lim_{x_M \rightarrow \infty} \left[\frac{1}{3} x_M^3 \left(1 + \frac{2}{x_M^2}\right)^{3/2} - \frac{2^{3/2}}{3} - x_M \left(1 + \frac{2}{x_M^2}\right)^{1/2} + 2^{1/2} - \frac{x_M^3}{3} \right] \\ &= -\frac{2\sqrt{2}}{3} + \sqrt{2} = \frac{\sqrt{2}}{3} \end{aligned} \quad (8.34)$$

Par ailleurs, $\frac{L^3 k_0^3}{4\pi^2} = \frac{L^3}{4\pi^2 \xi_0^3} = \frac{L^3}{4\pi^2} \sqrt{8}^3 \pi \sqrt{\pi} \rho \sqrt{\rho} a^{3/2} = N \sqrt{\frac{32}{\pi}} (\rho a^3)^{1/2}$ (8.35)

En reportant (8.34) et (8.35) dans (8.32), on obtient finalement

$$\frac{N - N_0}{N} = \frac{8}{3\sqrt{\pi}} (\rho a^3)^{1/2} \quad (8.36)$$

- La quantité $(N - N_0)/N$, proportion relative d'atomes hors de l'état $\vec{k} = \vec{0}$ est appelée "déficit quantique" de l'état fondamental du gaz de bosons. On voit apparaître la même quantité sans dimension $(\rho a^3)^{1/2}$ que dans la corrections à l'énergie de l'état fondamental [voir Eq.(8.20)].

b. Comparaison avec les résultats du calcul variationnel

Comme nous l'avons déjà indiqué dans le § 6C, la solution de l'équation de Gross-Pitaevskii dans une boîte de côté L très grand correspond à une situation où tous les atomes sont dans l'état $\vec{k} = \vec{0}$. On a alors $N = N_0$ et $(N - N_0)/N = 0$. La théorie de Bogoliubov permet donc de rendre compte du fait que les interactions vident légèrement l'état $\vec{k} = \vec{0}$ en transférant une fraction de atome dans les états $\vec{k} \neq \vec{0}$.

8) Densité à 2 corps pour un gaz de bosons dans l'état fondamental

a - Définition

- Commençons par rappeler la définition de la densité à 1 corps $P_I(\vec{r})$. C'est la densité de probabilité de trouver une particule quelconque au point \vec{r} , qu'on peut écrire dans le formalisme habituel

$$P_I(\vec{r}) = \langle \Psi_0 | \sum_{i=1}^N \delta(\hat{\vec{r}}_i - \vec{r}) | \Psi_0 \rangle \quad (8.37)$$

où $\hat{\vec{r}}_i$ est l'opérateur position de la particule i , et

$$P_I(\vec{r}) = \langle \Psi_0 | \hat{\psi}^+(\vec{r}) \hat{\psi}(\vec{r}) | \Psi_0 \rangle \quad (8.38)$$

en seconde quantification. Pour le gaz homogène étudié ici

$$P_I(\vec{r}) = \rho \text{ indépendant de } \vec{r} \quad (8.39)$$

- La densité à 2 corps $P_{II}(\vec{r}, \vec{r}')$ est la densité de probabilité de trouver une particule quelconque en \vec{r} et une autre particule quelconque en \vec{r}' . L'équivalent des équations (8.37) et (8.38) est

$$P_{II}(\vec{r}, \vec{r}') = \langle \Psi_0 | \sum_{i=1}^N \sum_{j \neq i} \delta(\hat{\vec{r}}_i - \vec{r}) \delta(\hat{\vec{r}}_j - \vec{r}') | \Psi_0 \rangle \quad (8.40)$$

$$P_{II}(\vec{r}, \vec{r}') = \langle \Psi_0 | \hat{\psi}^+(\vec{r}) \hat{\psi}^+(\vec{r}') \hat{\psi}(\vec{r}') \hat{\psi}(\vec{r}) | \Psi_0 \rangle \quad (8.41)$$

b. Calcul de $P_{II}(\vec{r}, \vec{r}')$

- Dans les expressions (7.11) et (7.12) de $\hat{\psi}(\vec{r})$ et $\hat{\psi}^+(\vec{r})$, isolons les contributions de a_0 et a_0^+

$$\hat{\psi}(\vec{r}) = \frac{1}{L^{3/2}} a_0 + \tilde{\psi}(\vec{r}) \quad \text{où} \quad \tilde{\psi}(\vec{r}) = \sum_{\vec{k} \neq \vec{0}} \frac{1}{L^{3/2}} a_{\vec{k}} e^{i \vec{k} \cdot \vec{r}} \quad (8.42)$$

$$\hat{\psi}^+(\vec{r}) = \frac{1}{L^{3/2}} a_0^+ + \tilde{\psi}^+(\vec{r}) \quad \text{où} \quad \tilde{\psi}^+(\vec{r}) = \sum_{\vec{k} \neq \vec{0}} \frac{1}{L^{3/2}} a_{\vec{k}}^+ e^{-i \vec{k} \cdot \vec{r}} \quad (8.43)$$

- Reportons (8.42) et (8.43) dans (8.41) et, comme plus haut, ne gardons que les termes contenant 4 a_0 ou a_0^+ , 2 a_0 ou a_0^+ (la contribution des termes contenant 3 a_0 ou a_0^+ est nulle). Enfin, remplaçons a_0 et a_0^+ par \sqrt{N} (sauf dans le terme contenant 4 a_0 ou a_0^+)

Termes contenant 4 a_0 ou a_0^+ . Même calcul que dans le § 4 b

$$\begin{aligned} \frac{1}{L^6} \langle \psi_0 | a_0^+ a_0^+ a_0 a_0 | \psi_0 \rangle &= \frac{1}{L^6} \left[N(N-1) - 2N \sum_{\vec{k} \neq 0} \langle \psi_0 | a_{\vec{k}}^+ a_{\vec{k}}^- | \psi_0 \rangle \right] \\ &\approx \rho^2 - 2 \frac{\rho}{L^3} \sum_{\vec{k} \neq 0} \operatorname{sh}^2 \theta_k \end{aligned} \quad (8.44)$$

On a utilisé (8.31) et $v_k = \operatorname{sh} \theta_k$.

Termes contenant 2 a_0 ou a_0^+ . On pose $\tilde{a}_0 = a_0 e^{i\vec{k}\vec{r}}$ $\tilde{a}'_0 = a_0 e^{i\vec{k}\cdot\vec{r}'}$

$$\frac{1}{L^6} \langle \psi_0 | \tilde{a}_{\vec{k}}^+ \tilde{a}_{\vec{k}}^+ a_0 a_0 | \psi_0 \rangle \rightarrow - \frac{\rho}{L^3} \sum_{\vec{k} \neq 0} e^{i\vec{k} \cdot (\vec{r} - \vec{r}')} \operatorname{sh} \theta_k \operatorname{ch} \theta_k \quad (8.45.a)$$

$$\frac{1}{L^6} \langle \psi_0 | a_0^+ a_0^+ \tilde{a}'_{\vec{k}} \tilde{a}_{\vec{k}}^- | \psi_0 \rangle \rightarrow - \frac{\rho}{L^3} \sum_{\vec{k} \neq 0} e^{i\vec{k} \cdot (\vec{r} - \vec{r}')} \operatorname{sh} \theta_k \operatorname{ch} \theta_k \quad (8.46.b)$$

$$\frac{1}{L^6} \langle \psi_0 | a_0^+ \tilde{a}_{\vec{k}}^+ a_0 \tilde{a}_{\vec{k}}^- | \psi_0 \rangle \rightarrow \frac{\rho}{L^3} \sum_{\vec{k} \neq 0} e^{i\vec{k} \cdot (\vec{r} - \vec{r}')} \operatorname{sh}^2 \theta_k \quad (8.46.c)$$

$$\frac{1}{L^6} \langle \psi_0 | \tilde{a}_{\vec{k}}^+ a_0^+ \tilde{a}_{\vec{k}}^- a_0 | \psi_0 \rangle \rightarrow \frac{\rho}{L^3} \sum_{\vec{k} \neq 0} e^{i\vec{k} \cdot (\vec{r} - \vec{r}')} \operatorname{sh}^2 \theta_k \quad (8.46.d)$$

$$\frac{1}{L^6} \langle \psi_0 | a_0^+ \tilde{a}_{\vec{k}}^+ \tilde{a}_{\vec{k}}^- a_0 | \psi_0 \rangle \rightarrow \frac{\rho}{L^3} \sum_{\vec{k} \neq 0} \operatorname{sh}^2 \theta_k \quad (8.46.e)$$

$$\frac{1}{L^6} \langle \psi_0 | \tilde{a}_{\vec{k}}^+ a_0^+ a_0 \tilde{a}_{\vec{k}}^- | \psi_0 \rangle \rightarrow \frac{\rho}{L^3} \sum_{\vec{k} \neq 0} \operatorname{sh}^2 \theta_k \quad (8.46.f)$$

On constate que les 2 derniers termes (8.46.e) et (8.46.f) compensent le dernier terme de (8.44) et on obtient

$$\rho_{II}(\vec{r}, \vec{r}') = \rho^2 [1 - \chi(\vec{r} - \vec{r}')] \quad (8.47)$$

où $\chi(\vec{s}) = \frac{2}{N} \sum_{\vec{k} \neq 0} e^{i\vec{k} \cdot \vec{s}} [\operatorname{sh}^2 \theta_k - \operatorname{sh} \theta_k \operatorname{ch} \theta_k]$ (8.48)

Le remplacement dans (8.48) de la somme sur \vec{k} par une intégrale et l'utilisation des équations (7.65) donnant $v_k^2 = \operatorname{sh}^2 \theta_k$ et $u_k v_k = \operatorname{ch} \theta_k \operatorname{sh} \theta_k$ conduisent finalement à

$$\chi(\vec{s}) = \frac{1}{\rho} \frac{1}{(2\pi)^3} \int d^3 k e^{i\vec{k} \cdot \vec{s}} \left[\frac{x}{\sqrt{x^2 + 2}} - 1 \right] \quad (8.49)$$

où $x = k/k_0$.

c - Discussion physique

- La théorie de Bogoliubov montre ainsi clairement que

$$\rho_{II}(\vec{r}, \vec{r}') \neq \rho_I(\vec{r}) \rho_I(\vec{r}') = \rho^2 \quad (8.50)$$

Elle montre donc l'existence de corrélations spatiales entre les

particulles et conduit à une formule analytique pour la transformée de Fourier de l'écart entre P_{II} et P^2 .

Comportement quand $s = |\vec{r} - \vec{r}'| \rightarrow 0$

Considérons la limite $s \ll \xi_0 = 1/k_0$, de sorte que $x = k/k_0 \gg 1$

On suppose cependant $s \gg a$, car l'expression précédente n'est plus valable pour $s \leq a$. Le comportement de $\chi(s)$ pour s petit est déterminé par le comportement de l'intégrand de (8.49) pour $x \gg 1$. Écrivons alors

$$\sqrt{\frac{x}{x^2+2}} - 1 = \sqrt{1 + \frac{2}{x^2}} - 1 \approx -\frac{1}{x^2} + O\left(\frac{1}{x^4}\right) \quad (8.51)$$

En remplaçant le crochet de l'intégrand de (8.49) par $-1/x^2$, on fait apparaître la transformée de Fourier de $1/s$ et on obtient :

$$\chi(\vec{r} - \vec{r}') \underset{a \ll |\vec{r} - \vec{r}'| \ll \xi_0}{\approx} -\frac{2a}{|\vec{r} - \vec{r}'|} \quad (8.52)$$

Comportement pour $s \rightarrow \infty$

Après avoir effectué l'intégrale angulaire de (8.49), on tombe sur une intégrale sur $k = |\vec{k}|$. Une série d'intégrations par parties permet alors de montrer que

$$\chi(\vec{r} - \vec{r}') \underset{|\vec{r} - \vec{r}'| \rightarrow \infty}{\approx} -\frac{\alpha}{|\vec{r} - \vec{r}'|^4} \quad (8.53)$$

où α est un coefficient

Tous ces résultats sont regroupés sur la Figure 2

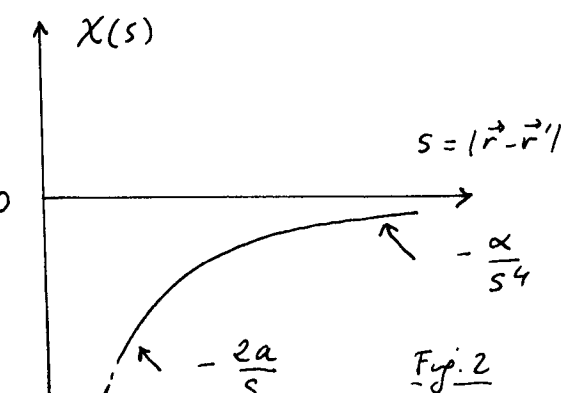


Fig. 2

Références

- [1] - N. Bogoliubov, J. Phys. USSR, 11, 23 (1947)
- [2] - K. Huang, Statistical Mechanics, J. Wiley, 1963, chapter 19
- [3] - L. Landau et L. Lifchitz, Physique Statistique, Editions Mir 1967, § 78
- [4] - R. Pathria, Statistical Mechanics, Pergamon, 1972, chapter 11.
- [5] - K. Huang, C. Yang, Phys. Rev. 105, 767 (1957)
- [6] - T.D. Lee, K. Huang, C. Yang, Phys. Rev. 106, 1135 (1957)
- [7] - Y. Casteln, Séminaire interne, Groupe atomes froids ENS, Novembre 1995 et calculs non publiés sur le pseudopotentiel.
- [8] - Pour la généralisation de l'approche de Bogoliubov à un gaz de bosons inhomogènes (piégis dans un potentiel extérieur), voir :
A. Fetter, Annals of Physics, 70, 67 (1972)